

Si-Z-Dioden

Кремниевые стабилитроны

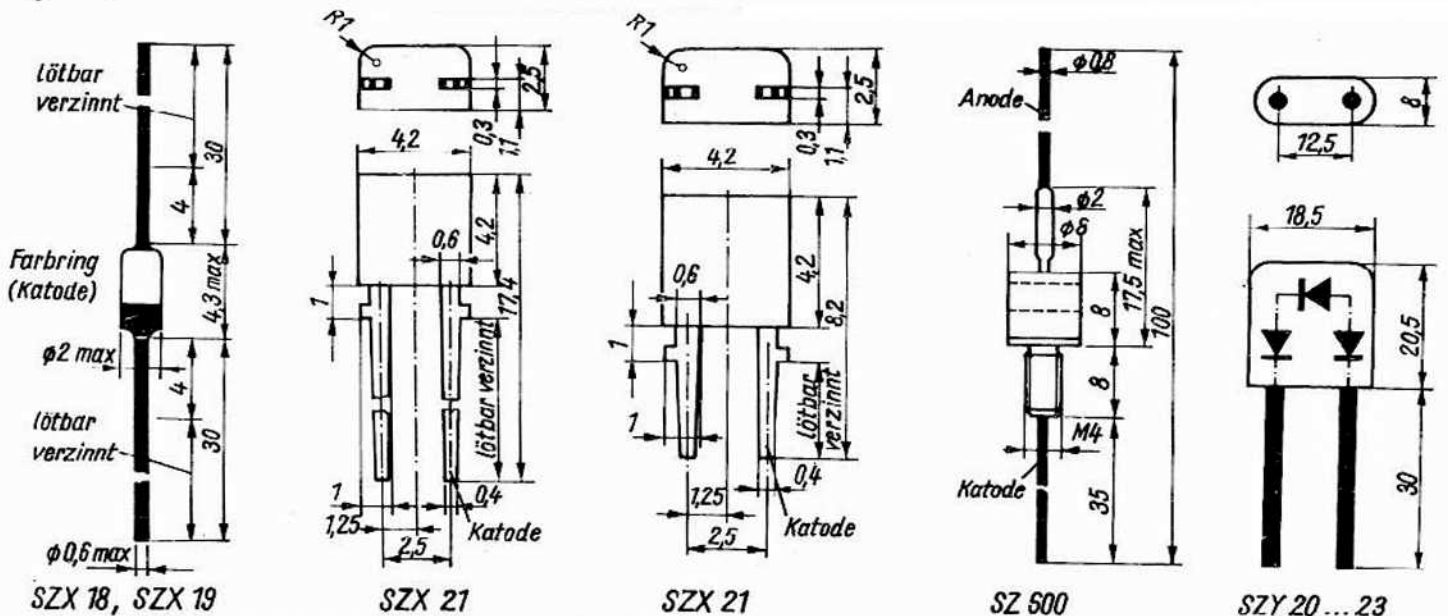
Si-Z diodes

Typ

Kenndaten bei $\vartheta_a = 25^\circ\text{C}$

Typ	bei $\vartheta_a = 25^\circ\text{C}$					bei				
	P_{tot} mW	I_Z mA	U_Z V	r_Z Ω	I_Z mA	TK_{U_Z} $10^{-4}/\text{grad}$	U_F V	I_F mA	U_R V	I_R μA
SZX 18/1			0,65...0,85	<8		-26 ... -23				
SZX 18/5,6			5,0 ... 6,3	<65		+3 ... +5			>1	
SZX 18/6,8			6,0 ... 7,5	<10		-1 ... +7			>2	
SZX 18/8,2			7,3 ... 9,2	<8		+2 ... +7			>3,5	
SZX 18/10	250		8,8 ... 11,0	<17	5	+5 ... +8	<0,85	5	>5	1
SZX 18/12			10,7...13,4	<30		+6 ... +9			>7	
SZX 18/15			13,0...16,5	<40		+7 ... +9			>10	
SZX 18/18			16,0...20,0	<55		+8 ... +9,5			>10	
SZX 18/22			19,6...24,4	<90		+8 ... +10			>12	
SZX 19/5,1			4,8 ... 5,4	<75		-5 ... +3			>1	
SZX 19/5,6			5,2 ... 6,0	<60		-3 ... +5			>1	
SZX 19/6,2			5,8 ... 6,6	<35		-2 ... +6			>1	
SZX 19/6,8	250		6,4 ... 7,2	<8	5	-1 ... +7	<0,85	5	>2	1
SZX 19/7,5			7,0 ... 7,9	<7		+2 ... +7			>2	
SZX 19/8,2			7,7 ... 8,7	<7		+3 ... +7			>3,5	
SZX 19/9,1			8,5 ... 9,6	<10		+4 ... +8			>3,5	
SZX 19/10			9,4 ... 10,6	<15		+5 ... +8,5			>5	
SZX 19/11			10,4...11,6	<20		+5,5...+9			>5	
SZX 19/12			11,4...12,8	<20		+6 ... +9			>7	
SZX 19/13			12,5...14,0	<30		+7 ... +9			>7	
SZX 19/15			13,8...15,5	<35		+7 ... +9,5			>10	
SZX 19/16	250		15,3...17,0	<40	5	+8 ... +9,5	<0,85	5	>10	1
SZX 19/18			16,8...19,0	<50		+8 ... +9,5			>10	
SZX 19/20			18,8...21,0	<80		+8 ... +10			>10	
SZX 19/22			20,8...23,0	<80		+8 ... +10			>12	
SZX 19/24			22,8...25,6	<80		+8 ... +10			>12	
SZX 21/1		200	0,73...0,83	<8		-18 ... -22				
SZX 21/5,1		43	4,8 ... 5,4	<60		-5 ... +3				
SZX 21/5,6		40	5,2 ... 6,0	<40		-2 ... +5			>1	
SZX 21/6,2	250	37	5,8 ... 6,6	<10		-1 ... +6			>1	
SZX 21/6,8	400	34	6,4 ... 7,2	<8	5	+0 ... +7	<1	50	>2	1
SZX 21/7,5		31	7,0 ... 7,9	<7		+2 ... +7			>2	
SZX 21/8,2		27	7,7 ... 8,7	<7		+3 ... +7			>3,5	
SZX 21/9,1		25	8,5 ... 9,6	<10		+4 ... +8			>3,5	
SZX 21/10		23	9,4 ... 10,6	<15		+5 ... +8			>5	
SZX 21/11		21	10,4...11,6	<20		+5 ... +8			>5	
SZX 21/12		19	11,4...12,8	<20		+6 ... +9			>7	
SZX 21/13		17	12,6...14,0	<25		+6,5...+9			>7	
SZX 21/15	250	16	13,8...15,5	<30		+7 ... +9			>10	
SZX 21/16	400	14	15,3...17,0	<40	5	+7 ... +9	<1	50	>10	1
SZX 21/18		12,5	16,8...19,0	<55		+7 ... +9			>10	
SZX 21/20		11,5	18,8...21,0	<55		+7 ... +9			>10	
SZX 21/22		10,5	20,8...23,0	<55		+7 ... +9			>12	
SZX 21/24		9	22,8...25,6	<80		+7,5...+9,5			>12	

1) $\vartheta_c = 25^\circ\text{C}$



Kurzzzeichen

A	wirksame Fläche	I_Z	Z-Strom	U_{CESat}	Kollektor-Emitter-Sättigungsspannung
C_c	Gehäusekapazität	ΔI_Z	Stabilität des Z-Stroms	U_{CEV}	Kollektor-Emitter-Sperrspannung bei in Sperrichtung vorgepannter Emitterdiode
C_{gss}	Eingangskapazität	I_O	Ausgangsstrom	U_D	Blockierspannung
C_j	Sperrschichtkapazität	I_{O_0}	Richtstrom	U_{DB}	Drain-Bulk-Spannung
C_L	Lastkapazität	ΔI_{O_0}	Richtstromdifferenz	U_{DG}	Drain-Gate-Spannung
C_{tot}	Gesamtkapazität	l	Länge	U_{DM}	Scheitelblockierspannung
CMR	Gleichtaktunterdrückung	L	Leuchtdichte	\hat{U}_{DR}	Periodische Spitzenblockierspannung
$d_{\dot{u}}$	Übertragungsdämpfung	L_S	Serieninduktivität	\hat{U}_{DS}	Nichtperiodische Spitzenblockierspannung
E	Beleuchtungsstärke	N_O	Ausgangslastfaktor	U_{DS}	Drain-Source-Spannung
F	Rauschfaktor	P_{in}	HF-Eingangsleistung	U_e	Eingangsspannung
f	Frequenz	\hat{P}_{RS}	Nichtperiodische Sperrverlustleistung	U_{EBO}	Emitter-Basis-Sperrspannung
f_{h21b}	Grenzfrequenz in Basisschaltung	P_{tot}	Totale Verlustleistung	U_F	Durchlaßgleichspannung
f_{h21e}	Grenzfrequenz in Emitterschaltung	$R_{\dot{a}q}$	Äquivalentwiderstand	U_{GB}	Gate-Bulk-Spannung
f_Q	Gütegrenzfrequenz	R_{BE}	Basis-Emitter-Widerstand	U_{GS}	Gate-Source-Spannung
f_T	Transitgrenzfrequenz	R_{DS}	Drain-Source-Widerstand	U_{GT}	Zündspannung
G_{pb}	HF-Leistungsverstärkung in Basisschaltung	R_e	Eingangswiderstand	U_{HF}	HF-Spannung
h	Höhe	R_g	Generatorwiderstand	U_I	Gleichtakteingangsspannung
h_{21E}	Gleichstromverstärkung	R_L	Lastwiderstand	U_{ID}	Differenzeingangsspannung
h_{21e}	Kurzschlußstromverstärkung in Emitterschaltung	R_{th}	Gesamtwärmewiderstand	U_{IO}	Eingangsoffsetspannung
I_B	Basisstrom	R_{thi}	Innerer Wärmewiderstand	U_R	Sperrspannung, Sperrgleichspannung
I_C	Kollektorstrom	r_F	Durchlaßwiderstand	U_{RM}	Scheitelsperrspannung
I_{CBO}	Kollektorreststrom bei offenem Emitter	r_R	Sperrwiderstand	\hat{U}_{RR}	Periodische Sperrspannung
I_{CES}	Kollektor-Emitter-Reststrom	r_Z	Z-Widerstand	\hat{U}_{RS}	Nichtperiodische Sperrspannung
I_{CEV}	Kollektorreststrom bei in Sperrichtung vorgepannter Emitterdiode	S	Empfindlichkeit	U_S	Betriebsspannung
I_D	Drainstrom	t_{DHL}	Einschaltverzögerungszeit	U_{SB}	Source-Bulk-Spannung
I_{D_0}	Blockierstrom	t_{DLH}	Ausschaltverzögerungszeit	U_T	Schwellspannung
\hat{I}_{DR}	Drainspitzenstrom	t_{gt}	Zündzeit	U_Z	Z-Spannung
I_e	Strahlstärke	t_{off}	Ausschaltzeit	ΔU_Z	Stabilität der Z-Spannung
I_F	Flußstrom, Durchlaßgleichstrom	t_{on}	Einschaltzeit	U_{OH}	High-Ausgangsspannung
\bar{I}_F	Dauergrenzstrom	t_q	Freiwerdzeit	U_{OL}	Low-Ausgangsspannung
\hat{I}_F	Effektiver Durchlaßstrom	t_r	Anstiegzeit	V_U	Spannungsverstärkung
I_{FM}	Scheiteldurchlaßstrom	t_{rr}	Sperrholungszeit	Y_{21}	Steilheit
I_{FN}	Nenndurchlaßstrom, Nenngleichstrom	t_s	Speicherzeit	θ_a	Umgebungstemperatur
\hat{I}_{FR}	Periodischer Spitzenstrom	TK _{UZ}	Temperaturkoeffizient der Z-Spannung	θ_c	Gehäusetemperatur
\hat{I}_{FS}	Nichtperiodischer Spitzenstrom	U_{AN}	Nennanschlußspannung (Effektivwert)	θ_j	Sperrschichttemperatur
I_{GT}	Zündstrom	U_{BE}	Basis-Emitter-Spannung	$\Delta\theta$	Temperaturdifferenz
I_H	Haltestrom	$U_{(BR)}$	Durchbruchspannung	λ	Emissionswellenlänge
I_I	Eingangsbiasstrom	U_{CB}	Kollektor-Basis-Spannung	λ_p	Wellenlänge maximaler Emission
I_{IO}	Eingangsoffsetstrom	U_{CBO}	Kollektor-Basis-Sperrspannung	$\Delta\lambda$	Spektrale Halbwertsbreite
I_R	Sperrstrom	U_{CE}	Kollektor-Emitter-Spannung	τ_i	Einschaltzeitkonstante
I_T	Durchlaßstrom	U_{CEO}	Kollektor-Emitter-Sperrspannung bei offener Basis		
\bar{I}_T	Dauergrenzstrom	U_{CER}	Kollektor-Emitter-Sperrspannung bei endlichem Basis-Emitter-Widerstand		
\hat{I}_T	Effektiver Durchlaßstrom	U_{CERest}	Kollektorrestspannung		
\hat{I}_{TR}	Periodischer Spitzenstrom	U_{CES}	Kollektorsperrspannung bei kurzgeschlossenem Emitterdiode		